

マイクロコンピュータによる2重および 3重誤り訂正 BCH 符号の復号†

岡 野 博 一††

最近のデジタルシステムにおいて、信頼性を向上させるために誤り訂正符号が広く実用されるようになってきた。誤り訂正符号の実現にはたいていハード技術が用いられている。しかし、マイクロコンピュータ程度のもので高度な誤り訂正処理がソフト的に実現できれば、経済的で柔軟なデータ通信システムが構成され得る。

本論文において、BCH 符号を用いた2重および3重誤り訂正処理をソフト的に実現している。復号のアルゴリズムは Polkinghorn が特殊計算機を用いて行った方法に基づいており、通常用いられる Chien のアルゴリズムを用いるよりも効率が良い。さらに剰余表を用いたシンドローム算出法および効率的な誤りビット数判定法等の高速化手法を用いた結果、従来のハード技術とは異なった BCH 符号の高速処理をマイクロコンピュータ上で実現している。さらに、計算処理量等の検討を行い、本方式は高速データ通信回線に対しても実用可能であることを明らかにしている。

1. ま え が き

最近、データ通信や計算機システムの信頼性を向上させるために符号理論が広く実用されるようになってきた。しかし、既存の多重誤り訂正符号においては効率の良いことと復号の容易さとは相反する問題であるため、現在の段階では特定の場合を除いてたかだか3重誤り訂正符号が実用化されているにすぎない。したがってより効率の良い符号、より復号の容易な符号の研究が続けられている^{7),8)}。また、ROM を用いた復号法は効率の良い注目すべき方法である⁹⁾。

これらの方法は主としてハード技術によって実現されているが、ソフト技術によっても高度な誤り訂正処理を実現することができる^{9),10)}。筆者はすでにマイクロコンピュータを用いた Fire 符号の効率の良い復号法を提案している^{10),11)}。さらに、2重および3重誤り訂正 BCH 符号の復号をマイクロコンピュータの上でソフト的に実現したので報告する。

この方法は文献 3) の方法に基づいており、誤り位置多項式をテーブルを用いて解くので、通常用いられる Chien のアルゴリズムを用いるよりも効率が良い。しかし文献 3) には計算処理量 (time/space) などが明確に示されておらず、しかもガロア体の演算を効率良く行えるように特別に設計されたコンピュータを使用している。そこで、汎用コンピュータを用いた場合の復号方法および計算処理量などを明確にしておくこと

は意義のあることと考えられる。

さらに、マイクロコンピュータ程度のもので高度な誤り訂正処理が実現できれば工学的に有益である。つまり、半導体技術の進歩によって安価で高性能なマイクロコンピュータが種々の分野に進出している。そして、データ通信に用いられる端末もマイクロコンピュータを内蔵したかなり高度な処理能力を持つインテリジェント端末が用いられるようになってきている。したがって、データ通信における符号の処理をマイクロコンピュータのソフトによって実現できれば、経済的で柔軟なデータ通信システムが構成され得る。

また、制御関係、移動通信などにも符号理論を容易に応用することが可能となろう。

しかしながらマイクロコンピュータの処理能力はそれほど高速とはいえないので、出来得る限り高速処理をするように工夫する必要がある。ここで述べる方法はシンドロームの算出を剰余表を用い、誤りビット数の判定を効率化し、誤り位置多項式の解法はテーブルを用いて行うなどの高速化手法を用い、従来のハード技術とは異なった BCH 符号の高速処理をマイクロコンピュータを用いてソフト的に実現している。

本方式は 4,800 ボーおよび 48K ボーの高速データ通信回線に対して十分有効であり、ソフトによる BCH 符号のデータ通信への適用が十分期待できる。なお、使用した言語は、マイクロコンピュータ PFL-16A のアセンブリ言語である。

2. BCH 符号の復号法

2.1 BCH 符号

† Decoding of Double and Triple Error Correcting BCH Codes by Microcomputer by HIROKAZU OKANO (Department of Information Electronics, Tokuyama Technical College).

†† 徳山工業高等専門学校情報電子工学科

BCH 符号はランダム誤りを訂正する代表的な符号の一つである。詳細については文献 1)~6) を参照されたい。

ここではまず、3重以下のランダム誤りを訂正する符号(単に3重誤り訂正 BCH 符号と呼ぶ)について具体例によって説明する。2重以下のランダム誤りを訂正する符号(単に2重誤り訂正 BCH 符号と呼ぶ)についても原理は同様なので簡単な説明に留める。

本論文で用いた3重誤り訂正 BCH 符号の生成多項式は GF(2⁴) の原始元を α とすると、 $\alpha, \alpha^3, \alpha^5$ を根とする多項式の積で表わされ次式となる。

$$G(x) = m_1(x) \cdot m_3(x) \cdot m_5(x) \\ = x^{10} + x^9 + x^8 + x^4 + x^2 + x + 1 \quad (1)$$

$$\text{ただし, } \begin{cases} m_1(x) = x^4 + x + 1 \\ m_3(x) = x^4 + x^3 + x^2 + x + 1 \\ m_5(x) = x^2 + x + 1 \end{cases}$$

この符号の符号長は 15, 情報符号長は 5, チェックビット長は 10, 最小距離は 7 である。

符号化については、一般の巡回符号と同様であり、シフト演算法あるいは剰余表を用いたテーブル・ルックアップ法によって行われる^{10), 11)}。前者はシフトレジスタの演算をそのまま模擬したものであり、計算速度が遅い。後者の方法によれば、計算速度を 5~10 倍程度に高速にすることができる。剰余表は入力 8 ビットとその入力に 8 ビットの all 0's を付加したものを多項式で割り算したときの剰余との対応表である。剰余表は 256 語のテーブルである。詳細は省略する。

なお、ガロア体の演算は、和はベクトル表現、乗除は指数表現を用いて行うのが便利なので相互の変換をテーブルを用いて行う。テーブルはメインプログラムのデータ定義域に格納しておき、各サブルーチンから参照することができるようにしている。

TBL 1 は、 α^i (ベクトル) $\rightarrow i$ (指数),

TBL 2 は、 $i \rightarrow \alpha^i$

の変換を行うためのものである¹¹⁾⁻⁶⁾。TBL 1, TBL 2 は省略する。

3重誤り訂正 BCH 符号をソフトによって復号する場合、次の手順で行う。

- (1) 受信系列からシンドローム S_1, S_3, S_5 を算出
- (2) 誤りビット数の判定
- (3) 誤り位置多項式の解法
- (4) 誤り訂正の実行

以下に、各ステップについて述べる。

2.2 シンドロームの算出¹¹⁾⁻⁶⁾

シンドロームは受信系列を $m_1(x), m_3(x), m_5(x)$ で割ったときの剰余をそれぞれ $R_1(x), R_3(x), R_5(x)$ とすると次式で表わされる。

$$\left. \begin{aligned} s_1 &= R_1(\alpha) \\ s_3 &= R_3(\alpha^3) \\ s_5 &= R_5(\alpha^5) \end{aligned} \right\} \quad (2)$$

したがって、符号化と同様に剰余を算出すれば良い。そして、 $R_3(x) \rightarrow R_3(\alpha^3), R_5(x) \rightarrow R_5(\alpha^5)$ の変換を行う。この変換はガロア体の指数 \leftrightarrow ベクトル変換表を使用してガロア体の演算をしても良いが、高速に行うために、剰余のパターンより合成する方法を用いている。この処理は、サブルーチン SBCH で行う。詳細は省略する。

2.3 誤り位置多項式の解法^{9), 6)}

順序は前後するが、誤りビット数が決定した後の誤り位置多項式の解法について述べる。

2.3.1 1ビット誤りの訂正

1ビット誤りの場合の誤り位置多項式は次式で与えられる。

$$x + s_1 = 0 \quad (3)$$

この場合、根は s_1 である。サブルーチン CR 1 によって s_1 の指数を SAVE 1 に格納する。

2.3.2 2ビット誤りの訂正

2ビット誤りの場合の誤り位置多項式は次式で与えられる。

$$x^2 + s_1x + \frac{s_1^3 + s_3}{s_1} = 0 \quad (4)$$

この場合、 $s_1 \neq 0, s_1^3 + s_3 \neq 0$ としてよいので、 $x = s_1Y$ において次式を得る。

$$Y^2 + Y + \frac{s_1^3 + s_3}{s_1^3} = 0 \quad (5)$$

そして、(4)式の根を $x_1 = \alpha^r, x_2 = \alpha^r$ とすると、 $\frac{s_1^3 + s_3}{s_1^3}$ と $(s-r)$ は 1対1 に対応しているので、

表 1 ($s-r$) の表
Table 1 Table of ($s-r$).

$\frac{S_1^3 + S_3}{S_1^3}$	$s-r$
α^4	1
α	2
α^3	3
α^2	4
α^5	5
α^{10}	6
α^6	7

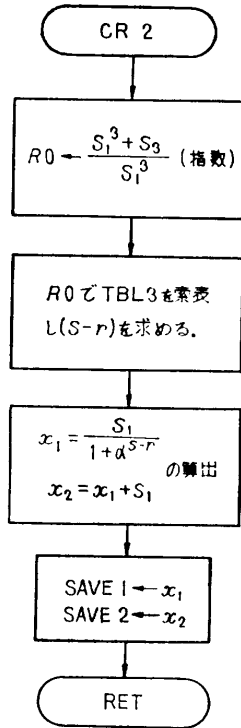


図 1 2次方程式の解法アルゴリズム

Fig. 1 Algorithm for solving a quadratic equation.

両者をあらかじめ算出して TBL 3 に格納しておく。この (s-r) の表を表 1 に示す。(4) 式の根は次式となる。

$$\begin{cases} x_1 = \frac{s_1}{1 + \alpha^{(s-r)}} \\ x_2 = x_1 + s_1 \end{cases} \quad (6)$$

この方法を用い、サブルーチン CR 2 によって(4) 式の根, x_1, x_2 を求めその指数を SAVE 1, SAVE 2 に格納する。(4) 式の 2 次方程式の解法アルゴリズムを図 1 に示す。また、そのプログラムを図 2 に示す。

なお、(5) 式の定数は $1 + s_3/s_1^3$ と変形されるので、 s_3/s_1^3 の値に対して(5) 式の 2 つの解を直接対応させたテーブルを用いれば若干効率が良い。これは文献 9) の方法であるが、本質的には同一と考えられる。

2.3.3 3ビット誤りの訂正

3 ビット誤りの場合の誤り位置多項式は次式で与えられる。

$$x^3 + s_1x^2 + \frac{s_1^2s_3 + s_5}{s_1^3 + s_3}x + s_1^3 + s_3 + \frac{s_1(s_1^2s_3 + s_5)}{s_1^3 + s_3} = 0 \quad (7)$$

STNO.	LABEL	OP.	OPERANDS/COMMENT
1		BGN	CR2
2		L	X1.(TBL1)
3		L	R1.(SAVE1)
4		A	X1.R1
5		L	R1.0(X1)
6		L	R2.(S13)
7		L	X1.(TBL1)
8		A	X1.R2
9		L	R2.0(X1)
10		S	R1.R2
11		MV	RO.R1
12		BAL	FUKA
13		L	X1.(TBL3)
14		A	X1.RO
15		L	R2.0(X1)
16		L	X1.(TBL2)
17		A	X1.R2
18		L	RO.0(X1)
19		MVI	R2.X*01*
20		EOR	RO.R2
21		L	X1.(TBL1)
22		A	X1.RO
23		L	RO.0(X1)
24		L	R1.(S1)
25		L	X1.(TBL1)
26		A	X1.R1
27		L	R1.0(X1)
28		S	R1.R0
29		MV	RO.R1
30		BAL	FUKA
31		MV	R1.RO
32		ST	R1.(SAVE1)
33		L	X1.(TBL2)
34		A	X1.R1
35		L	R2.0(X1)
36		L	RO.(S1)
37		EOR	R2.RO
38		L	X1.(TBL1)
39		A	X1.R2
40		L	R2.0(X1)
41		ST	R2.(SAVE2)
42		RET	
43	*		
44	*		
45	FUKA	SKIP	RO.M
46		B	J1
47		L	R3.N15
48		A	RO.R3
49	J1	RET	
50	N15	OC	F*15*
51	S1	EXTRN	S1
52	S13	EXTRN	S13
53	TBL1	EXTRN	TBL1
54	TBL2	EXTRN	TBL2
55	TBL3	EXTRN	TBL3
56	SAVE1	EXTRN	SAVE1
57	SAVE2	EXTRN	SAVE2
58		END	

図 2 2次方程式の解法プログラム

Fig. 2 Program for solving a quadratic equation.

この場合、 $s_1^3 + s_3 \neq 0$ としてよいから、 $x = Y + s_1$ とおき次式を得る。

$$Y^3 + \frac{s_1^5 + s_5}{s_1^3 + s_3}Y + s_1^3 + s_3 = 0 \quad (8)$$

したがって、 $s_1^5 + s_5 = 0$ のとき

$$Y = (s_1^3 + s_3)^{1/3} \quad (9)$$

さて、 $s_1^5 + s_5 \neq 0$ のときは、さらに

$$Z = \left[\frac{s_1^5 + s_5}{s_1^3 + s_3} \right]^{-1/2} \cdot Y \quad (10)$$

とおき、次式を得る。

表 2 Z_1, Z_2 (3次方程式の根) の表
Table 2 Table of Z_1 and Z_2 (roots of cubic equations).

$\frac{S_1^3+S_3}{(S_1^5+S_5)^{3/2}}$	Z_1, Z_2
α^8	α^{10}, α^{11}
α^{10}	α^8, α^7

$$Z^3 + Z + \frac{s_1^3 + s_3}{(s_1^5 + s_5)^{3/2}} = 0 \quad (11)$$

(11)式の解 Z_1, Z_2 は $\frac{s_1^3 + s_3}{(s_1^5 + s_5)^{3/2}}$ に対してあらかじめ算出し TBL 4 に格納しておく。この Z_1, Z_2 (3次方程式の根) の表を表 2 に示す。すると、(7)式の解は次式で与えられる。

$$x_i = \left[\frac{s_1^5 + s_5}{s_1^3 + s_3} \right]^{1/2} \cdot Z_i + s_1 \quad (12)$$

以上の方法によって、 $s_1^5 + s_5 \neq 0$ の場合はサブルーチン CR 3, 3乗根の場合はサブルーチン CR 33 を用いて(7)式の根 x_1, x_2, x_3 を求め、その指数を SAVE 1, SAVE 2, SAVE 3 に格納する。(7)式の3次方程

式の解法アルゴリズムを図 3 に示す。またそのプログラム (CR 3) を図 4 に示す。

2.4 誤りビット数の判定

誤り位置方程式の定数項に着目すれば容易に誤りビット数を判定できる。

すなわち、(7)式の定数項が非零であれば3ビット誤りであり、零であれば2ビット以下の誤りである。ここで(7)式において定数項が零の条件を用いて s_5 を消去すると(4)式と一致する。したがって、さらに(4)式の定数項が非零であれば2ビット誤りであり、零であれば1ビット以下の誤りとなる。つぎに $s_1 = s_3 = s_5 = 0$ のときは誤りがない。以上の誤りビット数の判定の効率の良いアルゴリズムは次項の図 5 の中に含まれている。

2.5 誤り訂正の実行

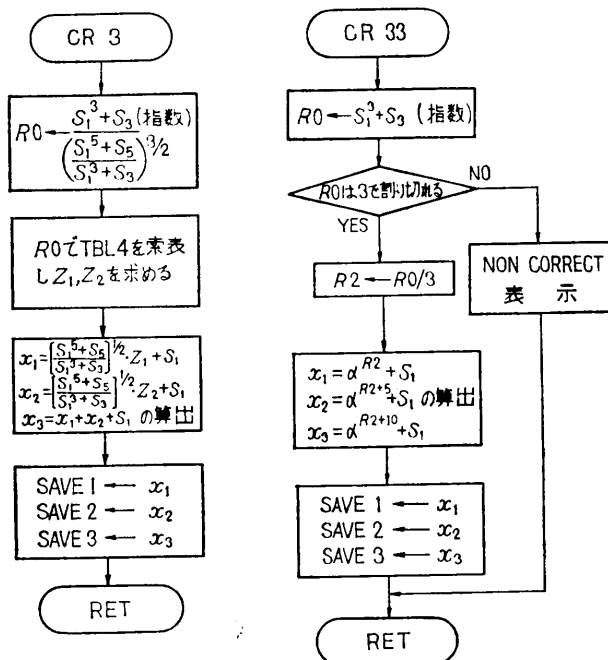
誤り位置方程式の根の指数は SAVE 1, SAVE 2, SAVE 3 に格納される。いま 15 ビットの受信符号は 1 語内の 0 ビット~14 ビットの位置に格納されており、このビット位置に $\alpha^{14} \sim \alpha^0$ が対応している。したがって、いま SAVE 1 の値が i とすると $(14-i)$ ビットを訂正すれば良い。ただし、使用したマイクロコンピュータの S BiT 命令 (レジスタに 1 をセットする) のビットセット位置は変数ではないので実行中に機械語になっている S BiT 命令のビット指定位置を $(14-i)$ の値に書き換えている。SAVE 2, SAVE 3 に対しても同様である。これはメインプログラムの内部サブルーチン SUB で行っている。

以上述べた動作をまとめた、3重誤り訂正 BCH 符号の復号アルゴリズムを図 5 に示す。プログラムは紙面の都合で省略する。また、本プログラムで復号したときの出力例を図 6 に示す。いま便宜上、誤りのない送信符号 (符号語) は all 0's (最初からの 14 ビット) としている。O は誤りなし、C は訂正、N は訂正不能を示す。4 ビット誤りの場合は訂正不能であり、3 ビット以下の誤りに対しては訂正を行っている。

3. 符号性能の検討

3.1 3重誤り訂正 BCH 符号の復号性能

以上で述べたマイクロコンピュータを用いた3重誤り訂正 BCH 符号の復号性能を表 3 に示す。シンドロームの算出は剰余表を用いた方が高速に演算できる^{10), 11)}。一例として符号長 127, 情報符号長 106 の符号を考えると、(符号長)/(復号時間) = 60K (ポー) なので、4,800 ポーのみならず、48K ポーの高速データ



(注) 符号長が3で整数できないときは、異なる3つの3乗根は存在しない。

図 3 3次方程式の解法アルゴリズム

Fig. 3 Algorithm for solving a cubic equation.

STNO.	LABEL	OP.	OPERANDS/COMMENT	STNO.	LABEL	OP.	OPERANDS/COMMENT
1		BGN	CR3	56		L	R2.(SAVE2)
2		L	R1.(SAVE1)	57		BAL	KAIX
3		L	X1.(TBL1)	58		ST	R1.(SAVE2)
4		A	X1.R1	59		L	R1.SAVE4
5		L	R1.O(X1)	60		EOR	R1.R2
6		ST	R1.(SAVE1)	61		L	R2.(S1)
7		L	R2.(SAVE2)	62		EOR	R1.R2
8		L	X1.(TBL1)	63		L	X1.(TBL1)
9		A	X1.R2	64		A	X1.R1
10		L	R2.O(X1)	65		L	R1.O(X1)
11		S	R2.R1	66		ST	R1.(SAVE3)
12		MV	RO.R2	67		RET	
13		BAL	FUKA3	68	*		
14		MV	R1.R0	69	KAIX	A	R1.R2
15		L	R3.N2	70		BAL	JVF
16	P1	CLEAR	R2	71		L	X1.(TBL2)
17	P2	SKIP	RO.NZ	72		A	X1.R1
18		S	P4	73		L	R1.O(X1)
19		S	RO.R3	74		L	R2.(S1)
20		SKIP	RO.PZ	75		EOR	R1.R2
21		B	P3	76		MV	R2.R1
22		AI	R2.1	77		L	X1.(TBL1)
23		B	P2	78		A	X1.R1
24	P3	AI	R1.15	79		L	R1.O(X1)
25		MV	RO.R1	80		RET	
26		B	P1	81	*		
27	P4	ST	R2.(SAVE2)	82	FUKA3	SKIP	RO.M
28		MV	R1.R2	83		B	J13
29		A	R1.R2	84		L	R3.N15
30		A	R1.R2	85		A	RO.R3
31		BAL	JVF	86	J13	RET	
32		MV	R2.R1	87	*		
33		L	R1.(SAVE1)	88	OVF	L	R4.N15
34		S	R1.R2	89	J5	MV	R3.R4
35		MV	RO.R1	90		S	R3.R1.MZ
36		BAL	FUKA3	91		B	J6
37		MV	R1.R0	92		S	R1.R4
38		L	X1.(TBL4)	93		B	J5
39		A	X1.R1	94	J6	RET	
40		L	R1.O(X1)	95	*		
41		ST	R1.(SAVE3)	96	SAVE1	EXTRN	SAVE1
42		L	R2.(SAVE2)	97	SAVE2	EXTRN	SAVE2
43		L	RO.MSK1	98	SAVE3	EXTRN	SAVE3
44		AND	R1.R0	99	S1	EXTRN	S1
45		BSWP	R1.R1	100	TBL1	EXTRN	TBL1
46		BAL	KAIX	101	TBL2	EXTRN	TBL2
47		ST	R1.(SAVE1)	102	TBL4	EXTRN	TBL4
48		ST	R2.SAVE4	103	N2	DC	F*2*
49		L	R1.(SAVE3)	104	N15	DC	F*15*
50		SR	R1.RE	105	MSK1	DC	X*0F00*
51		SR	R1.RE	106	MSK2	DC	X*000F*
52		SR	R1.RE	107	SAVE4	DS	XL2
53		SR	R1.RE	108		END	
54		L	RO.MSK2				
55		AND	R1.R0				

図 4 3次方程式の解法プログラム

Fig. 4 Program for solving a cubic equation.

表 3 3重誤り訂正 BCH 符号の復号性能

Table 3 Decoding performance of triple-error-correcting BCH codes.

生成多項式(注1)	(4,1,0)(4,3,2,1,0)(2,1,0)	(5,2,0)(5,4,3,2,0)(5,4,2,1,0)	(6,1,0)(6,4,2,1,0)(6,5,2,1,0)	(7,3,0)(7,3,2,1,0)(7,4,3,2,0)
チェックビット長	10	15	18	21
符 号 長	15	31	63	127
シンドロームの算出	シフト演算 1.3 剰余表(注2) 0.5	2.9 0.5	6.2 0.6	13.0 1.0
誤りビット数判定 (約 0.4)+誤り位置方程式の解法 (約 0.48)+誤り訂正 (約 0.22)=約 1.1				
復号時間の合計(注3)	シフト演算 2.4 剰余表 1.6	4.0 1.6	7.3 1.7	14.1 2.1

(注1) ()内は多項式の指数を表わす。(4,1,0) → x^4+x+1

(注2) $m_1(x)$, $m_2(x)$, $m_3(x)$ に対して各々8ビットパターンの剰余表を用いる。(256語のテーブルを3つ)

(注3) シンドロームの計算にシフト演算, および剰余表を用い, ほかの処理は共通である。

(単位は ms)

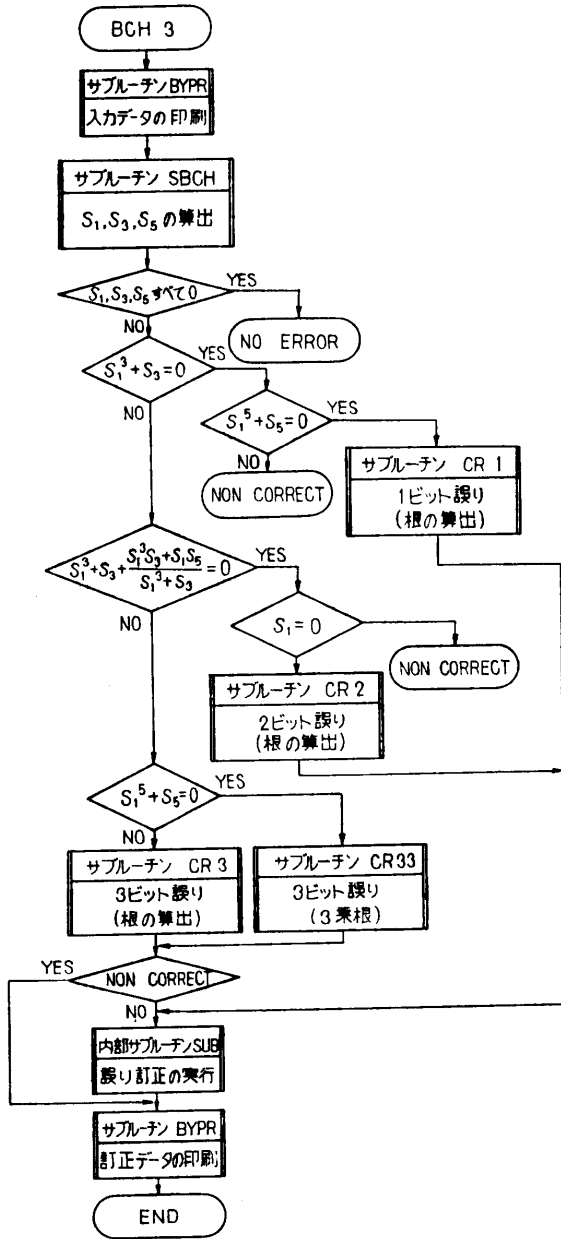


図 5 3重誤り訂正 BCH 符号の復号アルゴリズム
Fig. 5 Algorithm for decoding triple-error-correcting BCH codes.

00000000	00000000	00000000	00000000	O
10000000	00000000	00000000	00000000	C
10000100	00000000	00000000	00000000	C
10000100	10000000	00000000	00000000	C
00000011	10000000	00000000	00000000	C
00000011	11000000	00000011	11000000	N

入 力 訂正出力

図 6 出力例

Fig. 6 A sample output.

通信回線に対しても本方式が有効であり、実用化が期待できよう。

また、本方式を ROM 構成した復号器によれば、主記憶などにも有効となると思われる。

3.2 2重誤り訂正 BCH 符号の復号性能

3重誤り訂正 BCH 符号で述べた方法を用いれば、2重誤り訂正 BCH 符号についても容易に復号プログラムが構成できる。ここではプログラムは省略し、2重誤り訂正 BCH 符号の復号アルゴリズムを図7に示す。

また、その復号性能を表4に示す。

4. あとがき

BCH 符号の復号は誤りビット数が増加するにしたがって非常に複雑になるが、2重および3重誤り訂正 BCH 符号については、復号アルゴリズム、演算方法などを最適化して高速処理を実現することによりマイ

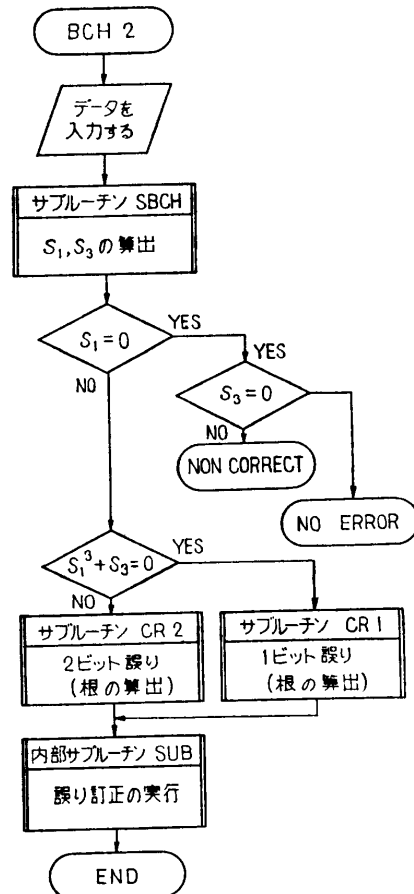


図 7 2重誤り訂正 BCH 符号の復号アルゴリズム
Fig. 7 Algorithm for decoding double-error-correcting BCH codes.

表 4 2重誤り訂正 BCH 符号の復号性能
Table 4 Decoding performance of double-error-correcting BCH codes.

生成多項式		(4, 1, 0) (4, 3, 2, 1, 0)	(5, 2, 0) (5, 4, 3, 2, 0)	(6, 1, 0) (6, 4, 2, 1, 0)	(7, 3, 0) (7, 3, 2, 1, 0)
チェックビット長		8	10	12	14
符 号 長		15	31	63	127
シンδροームの算出	シフト演算	0.9	1.9	4.0	8.7
	剰余表	0.3	0.3	0.4	0.6
誤りビット数判定 (約 0.1) + 誤り位置方程式の解法 (約 0.15) + 誤り訂正 (約 0.15) = 約 0.4					
復号時間の合計	シフト演算	1.3	2.3	4.4	9.1
	剰余表	0.7	0.7	0.8	1.0

(単位 ms)

クロコンピュータによって比較的簡単に復号できることを示した。また復号性能の検討を行い、本方式は 4,800 ボーのみならず 48K ボーの高速データ通信回線に対しても十分適用できることを明らかにした。

マイクロコンピュータ程度のもので高度な誤り訂正処理が実現され得るので、通信、制御関係のみならず、最近研究の進んでいる誤り訂正符号を用いたデータ処理など広範囲にわたって本方式が適用される可能性がある。

今後はさらに 4 重誤り訂正 BCH 符号のマイクロコンピュータによる効率の良い復号プログラムの開発を行いたい。また、3 重、4 重誤り訂正 BCH 符号について、ROM およびマイクロプログラミング技術などを用いた効率の良い復号器の検討を行いたい。

最後に、日頃ご指導頂く広島大学工学部川野董教授、有益なご助言を頂いた同市川忠男教授に深甚なる謝意を表すとともに、プログラムの作成に協力頂いた本学学生桂哲也君(現中国電力)、山本聡君(現ジャステック)に感謝の意を表します。

参 考 文 献

1) Peterson, W. W. and Weldon, E. J.: Error-Correcting Codes, 2nd Edition, pp. 269-309, MIT press, Mass. (1972).

- 2) Berlekamp, E. R.: Algebraic Coding Theory, pp. 176-199, McGraw-Hill Book Co., New York (1968).
- 3) Frank Polkinghorn: Decoding of Double and Triple Error Correcting Bose-Chaudhuri Codes, IEEE Trans. IT-12, pp. 480-481 (Oct. 1966).
- 4) 宮川, 岩垂, 今井: 符号理論, pp. 247-273, 昭晃堂 (1973).
- 5) 嵩, 都倉, 岩垂, 稲垣: 符号理論, pp. 129-143, コロナ社 (1975).
- 6) 猪瀬, 山本: データ通信, pp. 107-127, 産報 (1971).
- 7) 杉村, 笠原, 滑川: 復号の容易な能率の良い多重誤り訂正符号の一構成法, 信学論, J61-A, 11, pp. 1091-1098 (1978).
- 8) 今井, 藤谷: 復号の簡単な誤り訂正符号の一構成法, 信学論, J62-A, 5, pp. 271-277 (1979).
- 9) 山岸, 今井: ROM を用いた復号器の一構成法, 信学技報, AL 79-50, pp. 9-16 (1979-10).
- 10) 岡野博一: マイクロコンピュータによる Fire 符号のシミュレーションプログラム——データ通信への応用——, 情報処理学会論文誌, Vol. 20, No. 6, pp. 468-473 (1979).
- 11) 岡野博一: マイクロコンピュータによる Fire 符号の高速復号法, 情報処理学会論文誌, Vol. 21, No. 5 pp. 375-382 (1980).

(昭和 55 年 5 月 26 日受付)

(昭和 55 年 7 月 17 日採録)